

## AlZnMg-합금의 용융산화에 의한 $\text{Al}_2\text{O}_3$ -복합재료의 형성

김일수 · 김상호\* · 강정윤\*

동의대학교 재료공학과

\*부산대학교 금속공학과

(1996년 6월 24일 접수)

## Formation of $\text{Al}_2\text{O}_3$ -Composites by the Melt Oxidation of an AlZnMg-alloy

Il-Soo Kim, Sang-Ho Kim\* and Chung-Yun Kang\*

Dept. of Mater. Eng., Dong-eui Univ.

\*Dept. of Metal Eng., Pusan Nat'l Univ.

(Received June 24, 1996)

### 요 약

상업용으로 널리 쓰이는 AlZnMg 합금을 사용하여 1223~1423K의 온도범위에서 용융산화에 의한  $\alpha\text{-Al}_2\text{O}_3$ /금속 복합재료의 층성장에 관해 연구하였다. 지속적이고 거시적인 성장은 합금만의 산화로는 이루어지지 않았다. 그러나 합금면 위에  $\text{SiO}_2$  입자를 얇게 깔고 산화실험을 하였더니, 균일하고 지속적인 성장이 되었다. 산화층의 최전면은  $\text{SiO}_2$ 를 사용하지 않았을 때는  $\text{MgO}$ 와  $\text{MgAl}_2\text{O}_4$ 로 덮여있었으며,  $\text{SiO}_2$ 를 성장촉진재로 사용하였을 때는 성장전면에 다공질의  $\text{ZnO}$ 가 존재하였다. 반응온도가 높을수록 금속상의 함량이 즐어드는 경향을 보였다. 산화에 의한 생성물인  $\alpha\text{-Al}_2\text{O}_3$ 의 성장방향은 거의  $c$ -축과 평행한 방향임을 알 수 있었다. 성장속도는 온도에 따라 증가하였는데, 결보기 활성화 에너지 값은 111.8 kJ/mol였다.

### ABSTRACT

The initiation and growth of  $\alpha\text{-Al}_2\text{O}_3$ /metal composites by the directed oxidation of molten commercial AlZnMg-alloy at 1223~1423K were investigated. Spontaneous bulk growth did not occur on the alloy alone, but the uniform initiation and growth of the composite were obtained by putting a thin layer of  $\text{SiO}_2$  particles on the surface of the alloy. Without  $\text{SiO}_2$ , the external surface of the oxide layer was covered by  $\text{MgO}$  and  $\text{MgAl}_2\text{O}_4$ . But with the  $\text{SiO}_2$  reaction initiate, the porous  $\text{ZnO}$  layers were found on the growth surface. The higher process temperature yielded a lower metal content. The oxidation product of  $\alpha\text{-Al}_2\text{O}_3$  was found to be oriented with  $c$ -axis parallel to the growth direction. The growth rates increased with temperature and the apparent activation energy was 111.8 kJ/mol.

**Key words:** AlZnMg-alloy, DIMOX process,  $\text{Al}_2\text{O}_3$  composites,  $\text{SiO}_2$  reaction initiate

### I. 서 론

용융산화법은 미국의 Lanxide Corporation에서 개발한 세라믹 복합재료 제조방식이다<sup>1)</sup>. 산화성이 강한 용융금속이 표면으로부터 산화됨으로서 산화물이 형성된다. 이 산화물이 매트릭스로 되고, 산화하지 않은 용융금속은 세라믹 매트릭스 내에 균일하게 분포하여 금속상과 세라믹상이 서로 3차원적으로 맞물린 미세구조를 갖는다. 충전재(filler)로 섬유나 입자를 사용하면 더욱 다양한 복합재료를 얻을 수 있다(Fig. 1). 현재 제조가 시도된

것들로는 Al-합금을 원료로 해서  $\text{Al}_2\text{O}_3$ -와 AlN-복합재료가 있으며, 또 Zr을 원료로,  $\text{B}_4\text{C}$ 를 충전재로 한  $\text{ZrB}_2$ / $\text{ZrC}/\text{Zr}$  복합재료가 있다.

이 중  $\text{Al}_2\text{O}_3$ -복합재료가 가장 경제적으로 유망하여 비교적 많이 연구되었는데, 종래의  $\text{Al}_2\text{O}_3$ -소결체 제조법과 비교할 때 제조시 칫수변화 없이(near net-shape), 낮은 온도(900~1300°C)에서 치밀한 복합재료를 얻을 수 있으며, 잔류 금속상이 인성을 보강하여 줄 수 있는 잇점이 있다. 그러나 성장속도가 하루에 5~30 mm 정도로 낮은 단점이 있다. 또한 원료합금의 조성, 충전재의 종류,

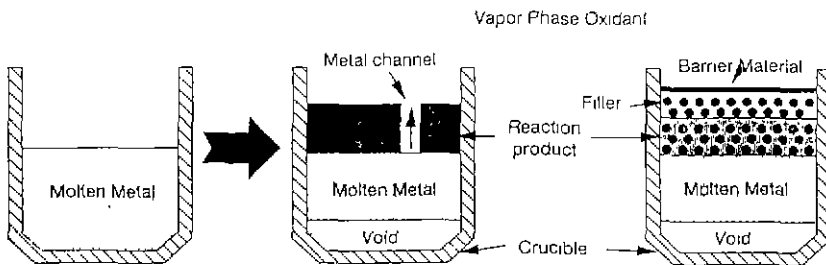


Fig. 1. Schematic of the matrix formation reaction illustrating the outward growth of a ceramic/metal reaction product from a molten metal exposed to a vapor phase oxidant.

공정온도, 공정시간, 로내 분위기 등의 공정변수 조절에 따른 산화 메카니즘과 미세구조의 상관관계가 아직 확연히 규명되어 있지 않음으로서 아직 제품의 경쟁력을 확보하지 못하고 있는 것으로 알려지고 있다. 따라서 재연성이 있는 공정조건들의 파악이 꼭 요구된다. 이율아 이런 조건들의 변화에 따른 최종제품의 구조재료적 특성을 측정, 파악하여 적절한 용도로 잘 사용될 수 있는 이론적 연구가 뒷받침되어야 할 것이다<sup>2)</sup>. 원료합금으로는 공업적으로 널리 쓰이는 AlSiMg 합금이 많이 연구되었다. AlSiMg 합금<sup>3~10)</sup>과 Zn을 포함하는 다성분계 합금<sup>4,12,13)</sup>에서 산화물은 잘 성장되는 것으로 보고되고 있는데, 다른 합금의 산화거동에 대한 연구는 별로 없다. SiO<sub>2</sub>를 열처리전의 금속면에 놓거나 충전재에 혼합하면 산화가 쉽게 이루어 진다는 보고가 있다<sup>7,12,14,15)</sup>.

본 연구에서는 항공기용 합금으로 널리 쓰이는 7075 Al-합금으로 Al<sub>2</sub>O<sub>3</sub>-복합재료의 제조를 시도해 보았다. 우선 이 합금의 고온산화거동을 살펴봄으로서 그 가능성을 타진하였고, Zn과 Mg의 역할에 대하여 고찰하고자 하였다. 또한 산화촉진재로 알려진 SiO<sub>2</sub>가 복합재료의 성장거동에 미치는 전반적 영향과 그 양에 따른 효과를 검토하였다. 이런 목적으로 SiO<sub>2</sub>-분밀의 양을 변화시킴으로써 합금표면 위에 도포하여 산화층 성장거동을 살펴보았다.

## 2. 실험

사용한 7075 Al-합금의 화학적 조성은 Table 1과 같다. 봉 형태로 공급된 합금을 20 mm 직경으로 선반가공한 후 일정량(6.0 g)으로 절단하였다. 실린더의 한 면을 SiC 연마지 600번으로 연마한 다음 이 면을 위로 하여 내경 20 mm, 높이 30 mm의 알루미나 도가니에 넣었다. 7075 합금의 산화거동을 알아보고자 7075 합금만으로 산화실험을 행하였고, 이와는 별도로 산화촉진재인 SiO<sub>2</sub>를 사

Table 1. Composition of Alloys used (bal. Al)

Mg	Zn	Cu	Cr	Si	Fe	Mn	Ti
2.1	5.1	1.2	0.2				
~	~	~	~	<0.4	<0.5	<0.3	<0.2
2.9	6.1	2.0	0.4				

용했을 때의 성장거동을 알아보기 위해 합금 위에 정량의 SiO<sub>2</sub>를 끌어 산화실험을 행하였다. 사용한 SiO<sub>2</sub>는 Junsei Chemical Co(일)의 시약급으로서 입경은 12~20 μm였다. 산화온도는 1223~1423K로 설정하였으며, 승온속도는 5 K/min, 최고온도유지시간은 최장 40시간으로 실험하였다. 무게증가량을 측정함으로서 산화반응의 정도를 기록하였고, 온도증가에 따른 무게변화 및 반응상태를 고찰하기 위하여 TG/DTA(Thermoflex Series, Rikaku, Japan)를 사용하여 1573K까지 승온하였다. 이 때의 승온속도는 20 K/min였다. 열분석을 위한 시편은 7075 합금을 1 mm 두께로 가공하여 50 mg을 취하여 준비하였다. 산화실험을 끝낸 시편은 세로로 절단하여 미세구조를 광학현미경으로 관찰하였다. 성장기구해석에 중요한 역할을 하는 것으로 알려진 성장시 성장전면에 존재하는상을 고찰하기 위하여 산화를 중단시킨 복합재료의 성장전면을 SEM으로 관찰하고 EDS로 분석하였다. 필요한 경우 XRD로서 상분석을 행하였으며 이때의 분석조건은 2θ=20°~80°, 주사속도는 2°/min으로 하였다. 반응물의 상분율 측정은 형광분석기를 사용하였다. Fig. 2는 실험과정을 도식화한 것이다.

## 3. 결과 및 고찰

### 3.1. 7075 Al-합금의 산화거동

합금의 산화거동을 관찰하기 위해 1223K, 1323K, 1423K 각 온도에서 40시간까지 최고 온도를 유지해 보았으나

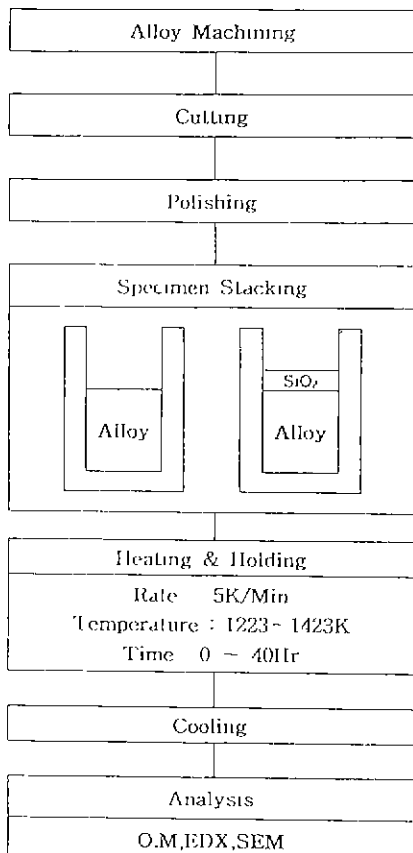


Fig. 2. Flow chart for the experimental procedure.

얇은 피막 형성에 따른 무게증가 외에는 무게증가가 없었다. 피막의 미세구조 및 상분석을 위하여 산화물피막을 SEM으로 관찰해 보았다. 1423K에서 바로 로에 시꺼낸 시편을 SEM으로 관찰해 본 성장전면 사진의 일부가 Fig. 3이다. 육안으로 보았을 때 얇은 회색의 피막이 금방되면서 갈라져 알루미늄 금속과 짙은 회색부분이 드러났는데, 원편의 얇은 회색부분과 이들이 갈라지면서 드러낸 가운데의 금속부위 그리고 오른편의 짙은 회색부분을 보이고 있다. 원편과 오른편의 산화물을 확대한 미세구조사진이 Fig. 4이며 전반적인 EDS분석을 그 옆에 붙였다. 얇은 회색은 EDS 분석결과 Mg만이 나타나는 것으로 보아 MgO임을 짐작할 수 있으며(Fig. 4(a)), 짙은 회색은 Mg와 Al peak가 함께 나타나는 것으로 보아  $\text{MgAl}_2\text{O}_4$ 임을 짐작할 수 있다(Fig. 4(b)). 1323K에서의 관찰 결과도 이와 큰 차이가 없었다. 따라서 산화물피막은 MgO 아래에  $\text{MgAl}_2\text{O}_4$ 가 놓인 층상구조임을 알 수 있다

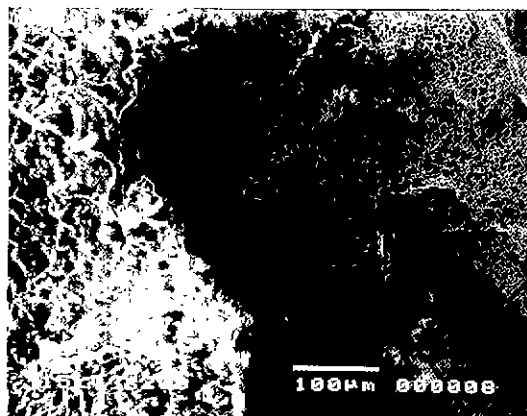


Fig. 3. SEM photographs of oxides on the Al-alloy

지금까지의 Mg를 포함한 Al-합금의 용융산화거동연구 결과, Mg는  $\text{MgAl}_2\text{O}_4$ 와  $\text{MgO}$ 를 형성하여  $\text{Al}_2\text{O}_3$ 의 계속적인 성장을 돋는다고 알려지고 있다. 온도와 합금조성, 산소분압 등에 따라 두 Mg-계 산화물의 형성여부와 그 양은 다양한데,  $\text{MgO}$ 와  $\text{MgAl}_2\text{O}_4$ 가 각각 어떤 경우에, 얼마나 형성되는지는 확실하지 않으나, 연구결과를 종합, 요약하면 다음과 같다. 산화성이 Al보다 더욱 크고 자체적으로 열린 산화막을 형성하는 가벼운(비중: 1.7) Mg가 반응면의 최첨단에서 우선 안정한  $\text{MgAl}_2\text{O}_4$ 를 형성함으로서 보통 AI용체위에 형성되는 AI-산화물 보호피막을 만들지 못하게 막는다. Mg가 풍부한 경우 이를 통해 Mg의 확산이 AI보다 빨리 일어나 최전면에  $\text{MgO}$ 를 형성할 수도 있다.  $\text{MgO}$ 가 먼저 형성된 후 AI과의 반응을 통해  $\text{MgAl}_2\text{O}_4$ 가 형성된다는 보고도 있다<sup>10</sup>. 산소는 Mg-산화물의 입계나 미세균열, 기공을 통해 AI용체와 접촉하여 거시적으로  $\text{Al}_2\text{O}_3$ 의 계속적인 산화가 이루어지는 것으로 짐작되고 있다.

Fig. 4(a)의  $\text{MgO}$ 는 (b)의  $\text{MgAl}_2\text{O}_4$ 보다 치밀하며,  $\text{MgO}$ 피막 아래에  $\text{MgAl}_2\text{O}_4$ 가 존재한다. 이런 층은 다른 연구<sup>5,6,11</sup>에서도 관찰되었으며, 치밀한  $\text{MgO}$ 층의 균열이나 덜 치밀한  $\text{MgAl}_2\text{O}_4$ 의 기공을 통해 거시적 산화는 가능해 질 수 있다. 거시적 산화가 이루어지지 않았던 Al-Mg 2원계 합금의 산화거동에 관한 다른 연구 결과<sup>7</sup>에 의하면 최첨단면의  $\text{MgO}$ 가 치밀한 조직을 갖고 있어 계속적인 산화를 방해하지만, 이 피막을 기계적인 방법으로 파괴하면 복합재료 혼형성이 된다고 한다.

Fig. 5는 합금의 열분석 결과이다. 온도증가에 따라 930°C까지 무계의 증가가 거의 없으며, 930°C 부근에서 약간의 무계증가와 더불어 어떤 반응이 있었음을 알 수

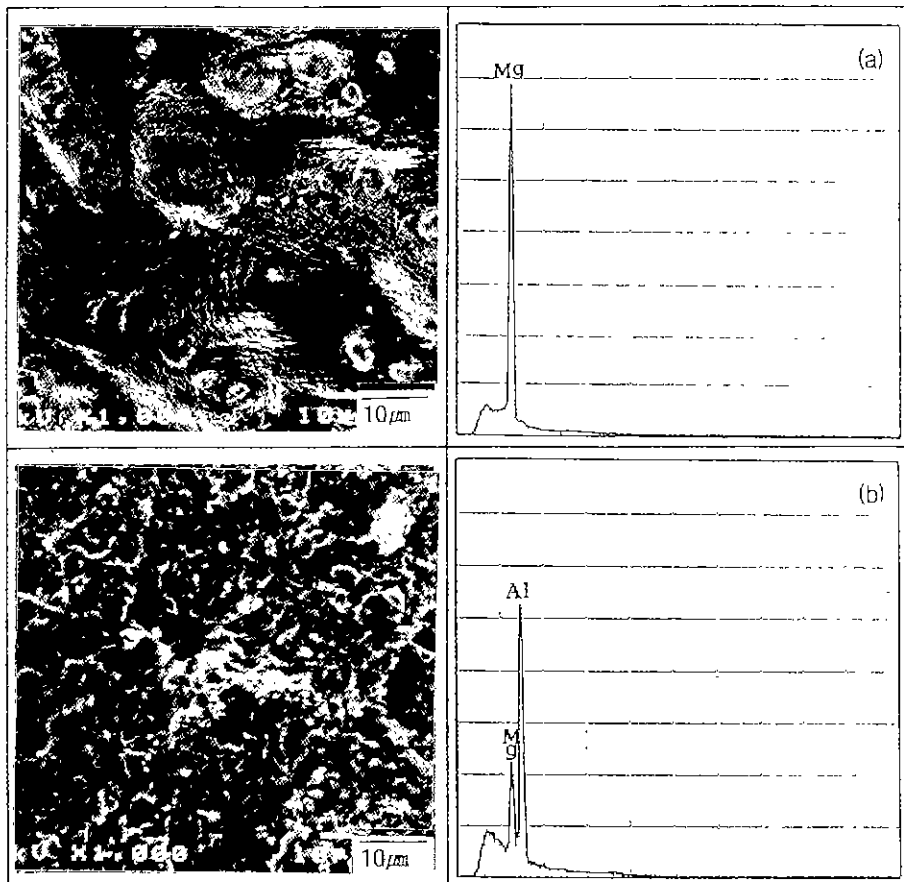


Fig. 4. Growth front morphology and EDS spectrum (a) light grey oxide (b) heavy grey oxide.

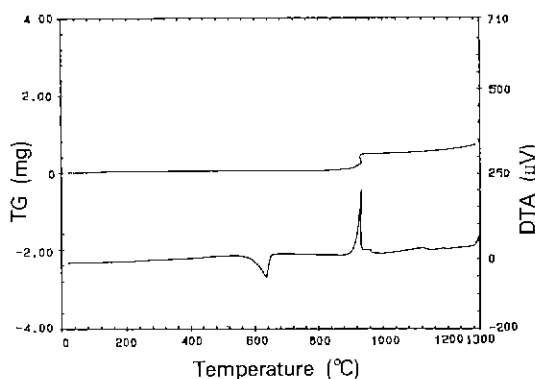


Fig. 5. DTA/TG curve of 7075 alloy.

있다. 이 온도에서 열역학적으로 일어날 수 있는 반응은  $MgAl_2O_4$ 의 생성으로 생각된다. AlMgSi 합금의 용융-산화를 DTA/TG로 분석한 성장 메카니즘은 먼저  $MgAl_2O_4$  (또는  $MgO$ )가 생기고(초기 산화),  $\alpha-Al_2O_3$ 의 핵 형성이 된

후(침복기), 본격적인 복합재료층의 성장(부피성장)이 이루어지는 3단계의 거동을 보인다<sup>5,10</sup>. 이 경우 Mg의 양이 어느 정도 까지는 작을수록 침복기가 짧아지는 것으로 보고되고 있다. 이는 생성되는 Mg-계 산화물의 층이 얕아져 거시적 성장이 빨리 이루어지기 때문으로 짐작된다. Zn은 비동점이 907°C로서 이론적으로는  $ZnO$ 의 형성 가능성도 있다. Zn이 포함된 다성분계 합금으로 복합재료를 성장시켰을 때 Zn은 용체 표면에  $ZnO$ 를 형성함으로서 거시적  $Al_2O_3$ 의 성장을 돋는 것으로 연구되었다<sup>1,2,13</sup>. 그러나 이번 연구에서 SEM과 EDS 결과와 함께 고려할 때 930°C 부근의 peak를  $ZnO$ 의 형성으로 볼 수는 없다. Al합금내에 고용되어 있는 Zn는 비중도 커서(7.1), 짧은 시간에 따로 이탈하여 자체의 산화물을 형성할 가능성은 없는 것으로 생각된다.

### 3.2. 7075 Al-합금의 산화거동에 미치는 산화촉진재 $SiO_2$ 의 영향

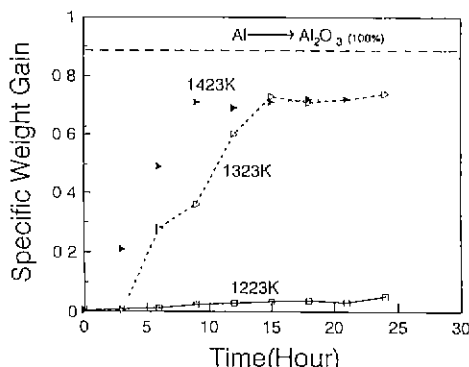


Fig. 6. Growth of the  $\text{Al}_2\text{O}_3/\text{Al}$  composite layer on 7075 alloy with  $\text{SiO}_2$  reaction initiate.

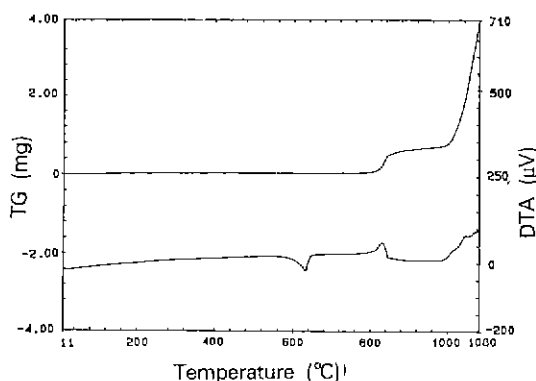


Fig. 7. DTA/TG curve of 7075 alloy with  $\text{SiO}_2$  reaction initiate.

산화거동 관찰 결과 7075 합금은 복합재료의 모합금으로 적합하지 못한 것으로 3.1.에서 논하였으나  $\text{SiO}_2$ 를 산화촉진재로 사용했을 때의 결과는 완전히 달랐다.  $\text{SiO}_2$ 를  $31.8 \text{ mg/cm}^2$  합금위에 균일하게 도포하고 1223K, 1323K, 1423K 각 온도에서 매 3시간마다 산화거동을 관찰한 결과가 Fig. 6이다. 순수 Al 금속이 완전히  $\text{Al}_2\text{O}_3$ 가 될 때의 무게증가는 189%인데, 이것을 100으로 잡은 비무게증가 값으로 산화거동을 나타내었다. 합금의 최대산화치가 이론치의 70~80%에 머무는 것은 용융산화의 일반적 성향으로서, 금속의 산화총내 진존과 일부 증발이 그 원인이다. 무게증가량을 측정함으로서 1223K에서는 미량의 무게증가만이 발생하였으나, 1323K에서는 약 3시간의 잠복기를 거친 후 거의 일정한 속도로 산화하여, 15시간 후에는 산화가 완결되었음을 알 수 있다. 1423K에서는 잠복기도 없이 일정한 속도로 산화가 진행되어 9시간 후에는 Al합금이 전량 소모되었다. 이는  $\text{SiO}_2$ 를 산화촉진재로 사용하면 적정 이상의 온도

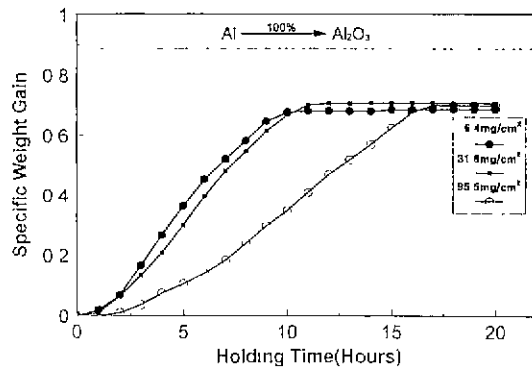


Fig. 8. Growth of the  $\text{Al}_2\text{O}_3/\text{Al}$  composite layer on 7075 alloy with various  $\text{SiO}_2$  reaction initiate quantity at 1323K.

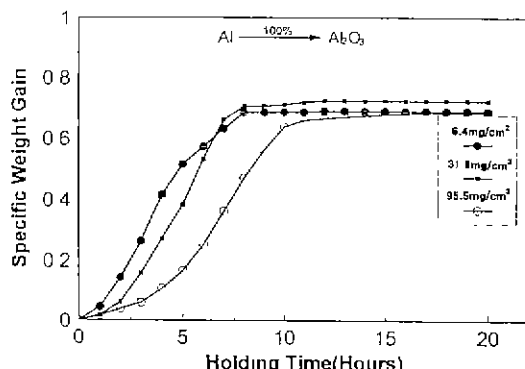


Fig. 9. Growth of the  $\text{Al}_2\text{O}_3/\text{Al}$  composite layer on 7075 alloy with various quantity at 1423K.

에서 잠복기를 줄이거나 없앨 수 있음을 보여준다. 합금만으로는 산화증 성장이 거의 없었던 것이  $\text{SiO}_2$ 가 있음으로 해서 산화속도와 무게증가율이 급등하는 것은  $4\text{Al} + 3\text{SiO}_2 \rightarrow 2\text{Al}_2\text{O}_3 + 3\text{Si}$  반응에 의해 초기산화가 촉진되기 때문이다. 이 반응은 합금표면과  $\text{SiO}_2$  사이에서 일어나며, 산화온도에서 큰 음의 자유에너지 값을 갖는다.

이를 좀 더 자세히 확인하기 위하여  $\text{SiO}_2$ 를  $31.8 \text{ mg/cm}^2$  합금위에 균일하게 깔고 열분석을 행한 결과가 Fig. 7이다. Fig. 5와 비교하면 더욱 그 영향을 뚜렷이 알 수 있는데 1000°C까지의 경향은 거의 같으나 Fig. 7에서는 1000°C 이후 반응과 함께 급격한 무게증성이 시작됨을 알 수 있다. Fig. 6에서 950°C와 그 이상의 온도에서의 산화거동이 큰 차이를 보이는 것도  $\text{SiO}_2$ 가 산화촉진재로 사용되는 경우 이 DTA/TG 결과로서 잘 설명된다.

산화촉진재의 양에 따른 산화거동변화를 보기 위하여 1323K, 1423K에서 시간증가에 따른 무게증가량을 측정

하였다.  $\text{SiO}_2$ 의 양은 6.4, 31.8, 95.5  $\text{mg}/\text{cm}^2$ 으로 변화시켰으며, 매시간 산화되는 양을 측정하여 비무게증가로 나타내었다(Fig. 8, 9).  $\text{SiO}_2$ 의 양이 6.4  $\text{mg}/\text{cm}^2$ 일 때와 31.8  $\text{mg}/\text{cm}^2$ 일 때의 산화량 증가양상은 비슷하지만,  $\text{SiO}_2$ 의 양이 많은 95.5  $\text{mg}/\text{cm}^2$ 의 경우는 산화촉진효과가 다소 떨어짐을 알 수 있다. 이런 경향은 낮은 온도에서 더욱 뚜렷하다. 이것은  $\text{SiO}_2$ 총이 두꺼우면 반응에 의해 고상으로 석출될 수 있는  $\text{Si}(\text{Si}$ 의 융점은 1410°C)의 양이 많아지므로 석출된  $\text{Si}$ 가 산화층 성장경로를 막으면서  $\text{Al}$ 과 산소의 접촉을 저해하기 때문으로 믿어진다. 이로서 산화촉진효과를 얻고자 하는  $\text{SiO}_2$ 의 양은 많을 필요가 없음을 알 수 있다.

1323K, 1373K, 1423K 각 온도에서 산화시킨 복합재

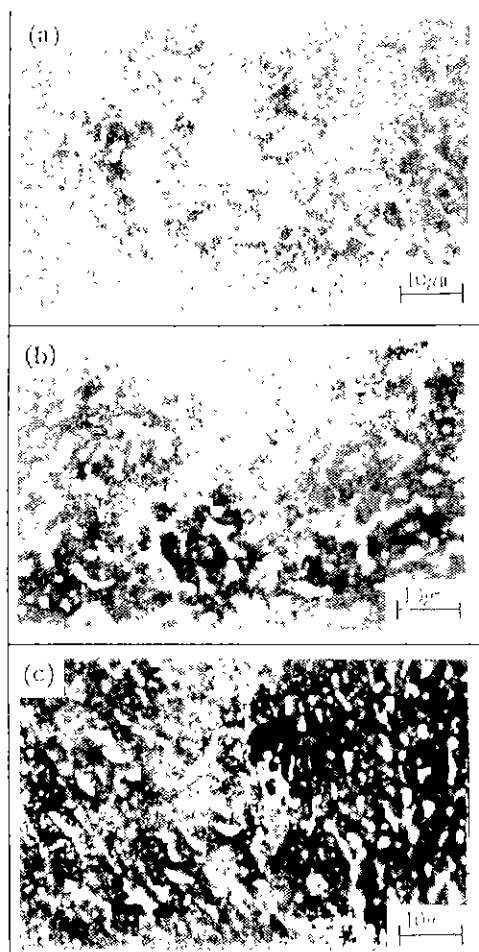


Fig. 10. Optical microstructure of  $\text{Al}_2\text{O}_3/\text{Al}$  composite which growth was incomplete.  
(a) 1323K (b) 1373K (c) 1423K

료의 미세구조 사진을 Fig. 10에 나타내었다. 이 사진은 합금이 다 소모되기 전에 산화를 중단하고 꺼내어 가공한 시편의 미세구조이다. 1~5  $\mu\text{m}$  크기의 금속상이 세라믹 매트리스내에 고루 분포하고 있으며, 대체로 산화온도가 높을수록 점 형태로 존재하는 금속상이 많음을 알 수 있다. 금속상의 분율을 형광분석기로 상분석하여 성장온도에 따른 분율변화를 보인 도표가 Fig. 11이다. 반응

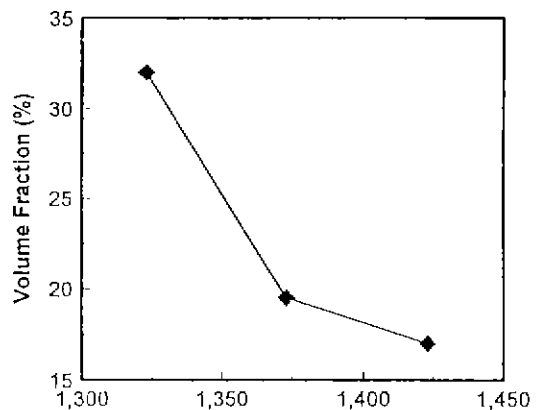


Fig. 11. Change of metal fraction with oxidation temperature.

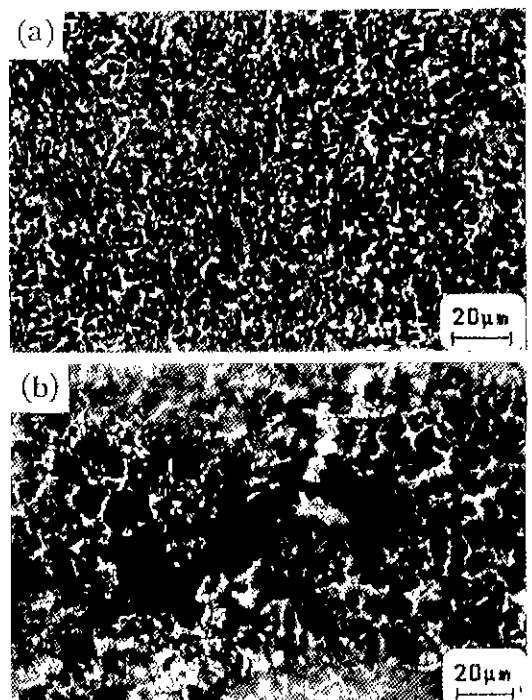


Fig. 12. Optical microstructure of  $\text{Al}_2\text{O}_3/\text{Al}$  composite grown at 1323K.

온도가 증가할수록 금속상의 분율이 낮아져 1323K에서 32%에 이르던 양이 1423K에서는 약 17%로 낮아졌다. 이것은 온도가 높을수록 산화가 많이 이루어져 금속상의 분율이 낮아지는 경향을 보여주는 것이다<sup>16-19</sup>.

Fig. 12는 1323K에서 용융산화시킨 각 부위별 광학현미경 조직사진이다. 산화물의 조직(Fig. 12(a))은 가장 아래 부분(Fig. 12(b))을 제외하고 위치와 별 관련없이 비슷한 형태로 금속상이 고루 분포하며 공공은 거의 발견되지 않았다. Fig. 12(a) 부위를 XRD로 상분석(Fig. 13) 한 결과,  $\alpha\text{-Al}_2\text{O}_3$ 과 Al 이외의 상은 존재하지 않았다. Fig. 12(b)은 산화가 시작된 복합재료 최하단에서 볼 수 있는 조직인데, 윗 부분과 달리 조직이 미세하지 못하며, 큰 공공도 포함하고 있음을 알 수 있다. 이 부분을 HCl용액으로 전류금속을 제거하고 X-선 회절분석(Fig. 14)을 한 결과, 반응생성물의 가장 아래 부분은  $\text{MgAl}_2\text{O}_4$ 임을 알 수 있었다. Mg가 포함되는 합금의 용융산화에서 산화물의 거시적 성장을 들는데 중요한 역할을 하는 것이  $\text{MgAl}_2\text{O}_4$ 이며, 이 위치에  $\text{MgAl}_2\text{O}_4$ 의 존재는 다른 연구 결과에서도 관찰된 바 있다<sup>11</sup>. 이 산화물이 성장이 시작된 부분에 위치하고 있는 것은 산화초기 생성된  $\text{MgAl}_2\text{O}_4$ 의

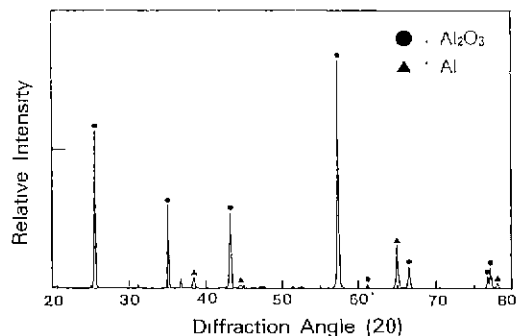


Fig. 13. X-ray diffractogram of  $\text{Al}_2\text{O}_3/\text{Al}$  composite exposed 20 hours at 1323K.

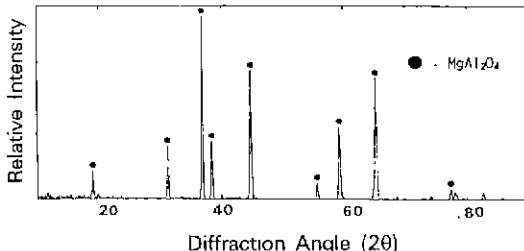


Fig. 14. X-ray diffractogram of bottom part (Fig. 12(b)) of the  $\text{Al}_2\text{O}_3/\text{Al}$  composite.

기공이나 균열을 통해 거시적 산화가 시작된다는 Fig. 3, 4, 5를 통한 고찰 결과를 잘 뒷받침하고 있다.

성장기구해석에 중요한 역할을 하는 것으로 알려진 성장시 성장전면에 존재하는 상을 고찰하기 위해 산화성장을 중도에서 중단하고 SEM 관찰과 EDS분석을 행하였다(Fig. 15). 표면에 존재하는 상은 실험온도에 따라 달랐다. 1323K에서 성장시킨 최전면에는 이미 Fig. 4에서 본 바와 같은 조직위에 흰 입자들이 뿌려진 형상이며, 이를 분석한 결과 Zn, Al, Mg peak가 존재하였으며 흰 입자는  $\text{ZnO}$ 로 분석되었다. 1423K에서는 표면에 얇은 조개껍질같은 것이 세워져 있는 듯한 모습인데, 이를 분석하였더니 Zn peak만이 두드러지고 있다. Zn가 포함된 다른 합금의 고온산화거동<sup>1,13</sup>에서도 이런 조직을 볼 수 있는데 이는 고온에서 Zn의 높은 증기압으로 인하여 기상의 Zn이 증발하면서 산소와 반응하여 휘스커상의  $\text{ZnO}$ 를 만드는 결과이다. Zn가 포함되는 합금의 산화거동에서 Zn는 합금의 점성을 낮추어 산화거동을 돋는 역할도 하지만<sup>20</sup>, 이보다는 비등점이 907°C로 높은 증기압을 공정온도에서 가지므로 거시적 산화를 위한 통로를 여는 역할을 하는 것으로 생각된다. 증발되는 Zn는 산소와 만나 열린  $\text{ZnO}$  산화층을 형성하므로 쉽게 복합재료층이 성장할 수 있도록 한다. 다만 Zn는 무겁고 (비중 : 7.1) 합금내에 고용되어 있으므로 따로 이탈하여 자체의 산화물을 형성하는 것이 용이하지는 않다. 그러나 최첨단층에서 Al함금유체가 노출되고 일단 거시적 산화가 시작되면 합금 유체 내부로부터 산화층으로 증발하여  $\text{ZnO}$ 를 형성할 것으로 생각된다. 같은 시간 산화시켰으나 거시적 산화가 일어나지 않았던 3.1.의 결과는 이와 같은 생각을 뒷받침한다. 따라서 Zn이 포함된 합금에서는 초기성장은  $\text{MgAl}_2\text{O}_4$ ( $\text{MgO}$ )가 주도하고, 이후 Zn이 증발하면서  $\text{ZnO}$ 를 형성함으로서 중기 이후의 거시적 성장을 주도하는 것을 알 수 있다.

복합재료의 미세조직은 방향에 따라서 그 차이점을 보이지 않았으나, XRD 분석결과는 방향에 따라 다른 결과를 보였다. 같은 시편을 성장방향에 수직하게 조사한 경우(Fig. 16(a))와 성장방향에 평행하게 조사한 경우(Fig. 16(b))의 XRD peak는 각 결정면의 회절강도에서 뚜렷한 차이를 보이고 있다. (a)의 경우 주 peak는 (113)면이고, (116), (030), (110), (012), (024) 면에서 높은 강도를 보인다. 이는  $\alpha\text{-Al}_2\text{O}_3$  분말의 주요 peak와 크게 다르지 않은 경향이다. 그러나 (b)의 경우에는 (a)에서는 없던 (1·0·10) 면의 peak가 높이 솟아 있으며, (a)의 주요 peak 중에는 (116) 정도만이 주요 peak로 남아 있음을 알 수 있다. 이런 분석결과를 놓고 볼 때 용융산화에 의한

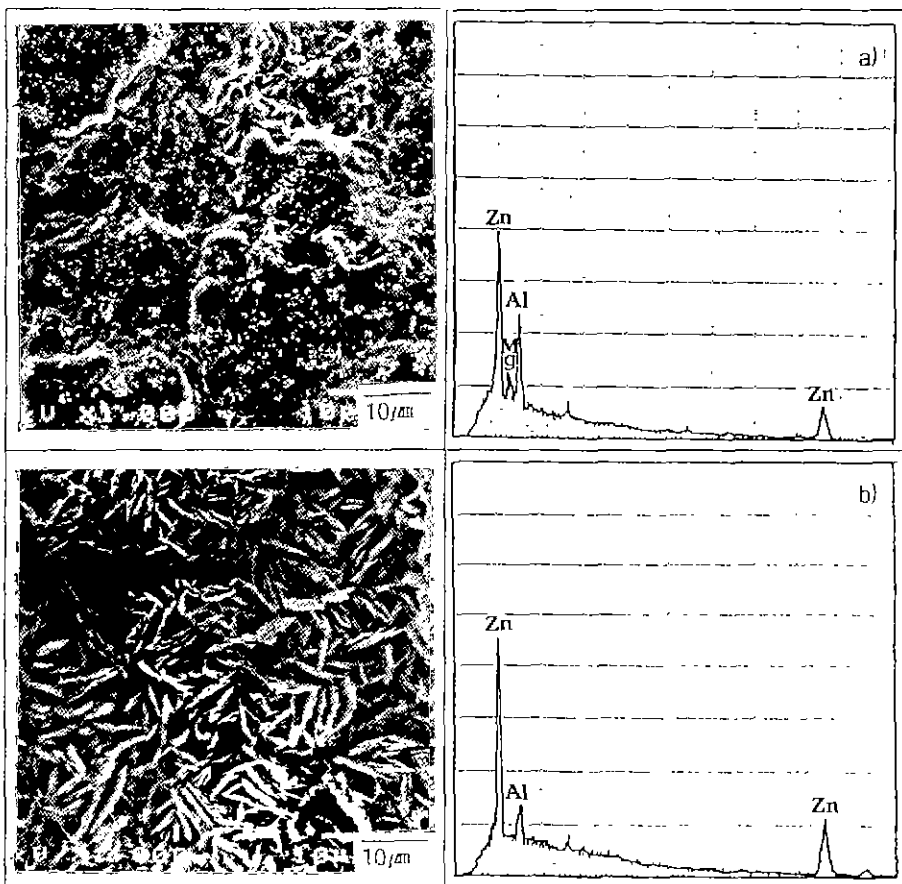


Fig. 15. Growth front morphology and EDS spectrum of composites using  $\text{SiO}_2$  reaction initiate exposed at (a) 1323K (b) 1423K.

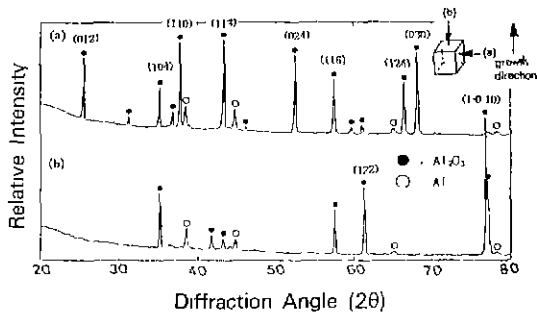


Fig. 16. XRD patterns showing variation of peak intensity with direction of X-ray radiation (a) vertical (b) parallel plane to growth direction of the composites.

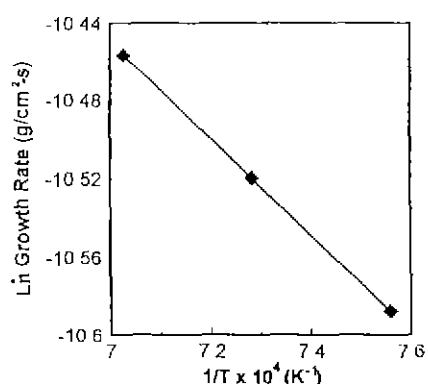


Fig. 17. Relation between growth rate and temperature.

복합재료층은 대단히 일정한 결정학적 방향성을 갖는 것을 짐작할 수 있으며, 거시적 성장방향이 육방정이

기본구조인  $\alpha\text{-Al}_2\text{O}_3$ 의 c-축과 일치함을 알 수 있다. 이와 같은 고찰은 다른 연구결과에서도 논한 바 있다<sup>[4]</sup>.

## REFERENCES

이미 형성된 산화피막에 용융산화에 의한 균일한 성장이 진행된다고 생각되는 시점인  $31.8 \text{ mg/cm}^2$  일 때를 기준으로 하여 산화속도와 온도와의 관계를 고려하여 절보기 활성화에너지를 구하였다(Fig. 17). 그 결과 활성화에너지 값이  $111.8 \text{ kJ/mol}$ 로 나타났다. 이 값은 Nagelberg<sup>9)</sup> 등이 Al-3Mg-10Si 합금을 사용하여 얻은 결과인  $400 \text{ kJ/mol}$ , Vlach<sup>6)</sup> 등이 Al-2.8Mg-5.4Si 합금으로 얻은 결과인  $270 \text{ kJ/mol}$ 보다는 매우 낮은 값이며, 다성분계 합금에 산화촉진재  $\text{SiO}_2$ 를 써서 실험한<sup>12)</sup> 값인  $89 \text{ kJ/mol}$ 보다는 조금 높은 값이다. 따라서 7075 합금에 산화촉진재  $\text{SiO}_2$ 를 사용하면 Al-Mg-Si 합금보다 더욱 쉽게 복합재료를 얻을 수 있을 것으로 판단된다.

## 4. 결 론

항공기용 합금으로 널리 쓰이는 AlZnMg 합금을 용융산화에 의한  $\text{Al}_2\text{O}_3$ 금속 복합재료 제조의 모합금으로 사용하고자 하였던 연구의 결과는 다음과 같다.

1. AlZnMg 합금만으로는 거시적인 산화층 성장이 이루어지지 않았다.

- 산화층의 최전면은  $\text{MgO}$ 와  $\text{MgAl}_2\text{O}_4$ 로 덮여있었다.

2. AlZnMg 합금 위에 분말형태의  $\text{SiO}_2$ 를 일정량 깔고 산화실험을 행하였더니 거시적인 산화층 성장이 이루어졌다.

-  $\text{SiO}_2$ 는 산화촉진재로 작용하며, Al과 thermit 반응에 의해 초기산화를 용이하게 하는 것으로 생각된다.  $\text{SiO}_2$  양이 많을 경우에는 산화온도에서 고상으로 석출하는  $\text{Si}$ 가 계속적인 성장을 위한 통로를 막음으로 오히려 거시적 성장을 저해한다.

- 산화온도가 높을수록 얻어지는 복합재료내의 금속이 차지하는 비율이 낮았다.

- 산화층의 최전면에는  $\text{ZnO}$ 가 주상을 이루고 있었다. 산화온도에서 증발되는  $\text{Zn}$ 는 산소와 만나 다공질의  $\text{ZnO}$ 를 형성함으로서 산화층의 성장을 돋는다.

- 성장층의 방향에 따라 X-선 회절분석을 한 결과 산화층의 성장방향은  $\alpha\text{-Al}_2\text{O}_3$ 의 c-축방향과 거의 일치함을 알 수 있었다.

- 산화층 성장의 절보기 활성화에너지는  $111.8 \text{ kJ/mol}$ 로서 지금까지의 연구결과와 비교하여 비교적 낮은 값을 보였다. 따라서 AlZnMg 합금 위에  $\text{SiO}_2$ 를 산화촉진재로 사용하면 용이하게 복합재료를 얻을 수 있을 것으로 판단된다.

- M.S. Newkirk *et al.*, "Formation of Lanxide™ Ceramic Composite Materials," *J Mater. Res.*, **1**, 81-89 (1986).
- 김일수, "용융산화법으로 제조한 세라믹기 복합재료," *요일제료의 과학과 기술*, **9**(6), 637-645 (1994).
- M Sindel and N. Claussen, "Growth and Microstructural Development of Melt-Oxidation Derived  $\text{Al}_2\text{O}_3/\text{Al}$ -Base Composites," *Brit. Ceram. Proc.*, 205-10 (1990).
- M. Sindel *et al.*, "Influence of Magnesium-Aluminum Spinel on the Directed Oxidation of Molten Aluminum Alloys," *J. Am. Ceram. Soc.*, **73**(9), 2615-18 (1990).
- D. Salas *et al.*, "Nucleation and Growth of  $\text{Al}_2\text{O}_3/\text{Metal}$  Composites by Oxidation of Aluminium Alloys," *J Mater. Res.*, **6**(9), 1964-81 (1991).
- K.C. Vlach *et al.*, "A Thermogravimetric Study of the Oxidative Growth of  $\text{Al}_2\text{O}_3/\text{Al}$  Alloy Composites," *J Mater. Res.*, **6**(9), 1982-95 (1991).
- A.S. Nagelberg, "Observation on the Role of Mg and Si in the Directed Oxidation of Al-Mg-Si Alloys," *J. Mater. Res.*, **7**(2), 265-68 (1992).
- S. Antolin *et al.*, "Formation of  $\text{Al}_2\text{O}_3/\text{Metal}$  Composites by the Directed Oxidation of Molten Aluminium-Magnesium-Silicon Alloys: Part I, Microstructural Development," *J. Am. Ceram. Soc.*, **75**(2), 447-54 (1992).
- A.S. Nagelberg *et al.*, "Formation of  $\text{Al}_2\text{O}_3/\text{Metal}$  Composites by the Directed Oxidation of Molten Aluminium-Magnesium-Silicon Alloys: Part II, Growth Kinetics," *J. Am. Ceram. Soc.*, **75**(2), 455-62 (1992).
- I.S. Kim and H.W. Hennicke, "Oxidationsverhalten einer  $\text{AlSiMg}$ -Legierungsschmelze," *ALUMINIUM*, **69**(3), 269-72 (1993).
- V.S.R. Muthy and B.S. Rao, "Microstructural Development in the Directed Melt-oxidized (DIMOX) Al-Mg-Si Alloys," *J. Mater. Sci.*, **30**, 3091-97 (1995).
- A.S. Nagelberg, "Growth Kinetics of  $\text{Al}_2\text{O}_3/\text{Metal}$  Composites from a Complex Aluminium Alloy," *Solid State Ionics*, **32/33**, 783-88 (1989).
- I.S. Kim and H.W. Hennicke, "Oxidationsverhalten von  $\text{AlSiCuZn}$ -Legierungen bei 900 bis 1300°C," *ALUMINIUM*, **68**(7), 592-97 (1992).
- E. Breval *et al.*, "Microstructure and Composition of Alumina/Aluminium Composites Made by Directed Oxidation of Aluminium," *J. Am. Ceram. Soc.*, **73**(9), 2610-14 (1990).
- S. Lee and D.K. Kim, "The Effect of Oxide Additives in Filler Materials during Directed Melt Oxidation Process," *Ceram. Eng. Sci. Proc.*, **11**(7,8), 795-805 (1990).

16. M.K. Aghajanian *et al.*, "Properties and Microstructures of Lanxide  $\text{Al}_2\text{O}_3/\text{Al}$  Ceramic Composite Materials," *J. Mater. Sci.*, **24**, 658-70 (1989).
17. I.S. Kim and H.W. Hennicke, "Composites Made by Directed Oxidation of Al-Alloy with Aluminosilicate Fibers," *Interceram*, **41**(2), 75-78 (1992).
18. E. Manor *et al.*, "Microstructure Evolution of SiC/ $\text{Al}_2\text{O}_3/\text{Al}$  Composites Produced by Melt Oxidation," *J. Am. Ceram. Soc.*, **76**(7), 1777 (1993).
19. 김일수 and H.W. Hennicke, "용융산화법으로 제조한  $\text{Al}_2\text{O}_3\text{-SiC}$  세라믹스의 미세구조와 기계적 성질," 한국 요업학회지, **31**(10), 1169-75 (1994).
20. I.S. Kim and H.W. Hennicke, "Einflu von Zusatzelementen auf die Bildung des  $\text{Al}_2\text{O}_3/\text{Metall}$  Verbundkörpers durch Schmelzoxidation von Al," *Keram. Z.*, **46**(5,6), 312-314, 388-392 (1994).